

dr n. tech. Andrzej Antoni CZAJKOWSKI^{a,b}, Ewa Teresa CZAJKOWSKA^b

^a Uniwersytet Szczeciński, Wydział Matematyczno-Fizyczny, Katedra Edukacji Informatycznej i Technicznej
University of Szczecin, Faculty of Mathematics and Physics, Department of Informatics & Technical Education

^b Wyższa Szkoła Techniczno-Ekonomiczna w Szczecinie, Edukacja Informatyczno-Techniczna
Higher School of Technology and Economics in Szczecin, Informatics and Technical Education

MODEL ANALITYCZNO-NUMERYCZNY PARAMETRÓW PRACY KORBOWODU I MECHANIZMU PRZEGUBOWEGO

Streszczenie

Wstęp i cele: W pracy przedstawiono dwa zagadnienia mechaniczne, a mianowicie analizę prędkości korbowodu oraz badanie prędkości wznoszenia się mechanizmu przegubowego. Głównym celem pracy jest opracowanie modelu analitycznego oraz numerycznego dla analizy prędkości korbowodu i przegubu.

Materiał i metody: Materiał stanowi model mechaniczny korbowodu i przegubu. W opracowaniu stosuje się metodę analityczną oraz numeryczną z zastosowaniem programu *Mathematica*.

Wyniki: Dla obu zagadnień opracowano modele analityczne z zastosowaniem rachunku różniczkowego. Opracowano algorytmy w programie *Mathematica* kreujące wykresy 2D i 3D ruchu punktu korbowodu po torze eliptycznym.

Wniosek: Pokazanie technicznego zastosowania pochodnej funkcji jednej zmiennej, a w szczególności wyznaczania ekstremum funkcji, w wybranych zagadnieniach mechaniki technicznej, sprzyja lepszemu zrozumieniu i stosowaniu podstawowych pojęć rachunku różniczkowego.

Słowa kluczowe: Rachunek różniczkowy i całkowity, zastosowania, mechanika techniczna, korbowód, mechanizm przegubowy.

(Otrzymano: 01.05.2014; Zrecenzowano: 15.05.2014; Zaakceptowano: 01.06.2014)

ANALYTICAL AND NUMERICAL MODEL OF WORK PARAMETERS OF CONNECTING-ROD AND BAR LINK-AGE MECHANISM

Abstract

Introduction and aims: The paper presents two mechanical problems, namely the analysis of the velocity of the connecting-rod and the test velocity of bar link-age mechanism. The main aim of this work is to develop the analytical and numerical model for the analysis of the velocity of the connecting-rod and bar link-age.

Material and methods: Material is a mechanical model of a connecting-rod and bar link-age. The study used an analytical method and numerical by using *Mathematica* program.

Results: For both problems has been developed analytical models using differential calculus. Also have been written some algorithms in *Mathematica* program that creates 2D and 3D graphs of connecting-rod movement of the point on the elliptical path.

Conclusion: Showing technical application of a function of one variable, in particular case for determining extreme of function, in technical mechanics of selected problems, promotes better understanding and applying the fundamental concepts of calculus.

Keywords: Differential calculus, applications, technical mechanics, connecting-rod, bar link-age mechanism.

(Received: 01.05.2014; Revised: 15.05.2014; Accepted: 01.06.2014)

1. Wstęp

We współczesnych naukach technicznych daje się zauważyć posługiwanie się metodami analitycznymi jak rachunkiem różniczkowym, ale i również metodami numerycznymi przy użyciu pakietów numerycznych takich jak *Mathematica*, *MathCAD*, *MS-Excel*, *Matlab*.

Z drugiej strony w nauczaniu szkolnym i wyższym mamy okazję poznać podstawy rachunku różniczkowego w postaci pojęć taki jak: granica ciągu, granica funkcji, pochodna funkcji jednej zmiennej oraz jej zastosowania geometryczne (styczna i normalna do wykresu funkcji, monotoniczność funkcji, ekstremum funkcji, punkt przegięcia wykresu funkcji a także kształt wykresu funkcji).

W rozważaniach skupimy się nad zastosowaniem pochodnej (pierwszego i drugiego rzędu) do analizy pewnych funkcji, które opisują konkretne zagadnienia w mechanice technicznej.

W tych wybranych zagadnieniach badamy ekstremum funkcji przy zastosowaniu rachunku różniczkowego. Przypomnimy pojęcie ciągu liczbowego, funkcji jednej zmiennej, ilorazu różnicowego funkcji, pochodnej pierwszego drugiego rzędu oraz warunki konieczne i wystarczające istnienia ekstremum funkcji.

Definicja 1. (Ciąg liczbowy)

Ciągiem liczbowym nazywamy funkcję odwzorowującą zbiór liczb naturalnych w zbiór liczb rzeczywistych:

$$n \rightarrow a_n \quad (1)$$

i odznaczamy $\{a_n\}$, a jego wyraz ogólny przedstawiamy symbolem a_n [2], [4], [10].

Definicja 2. (Pojęcie funkcji)

Funkcją nazywamy odwzorowanie, w którym każdemu argumentowi x ze zbioru X jest przyporządkowany jeden i tylko jeden element y ze zbioru Y . Zbiór X nazywamy dziedziną funkcji, a zbiór Y – zbiorem wartości funkcji [8].

Definicja 3. (Iloraz różnicowy)

Niech $x_0 \in \mathbb{R}$ oraz niech funkcja $f=f(x)$ będzie określona przynajmniej na otoczeniu $O(x_0, \varepsilon)$, gdzie $\varepsilon > 0$. Ilorazem różnicowym funkcji $f(x)$ w punkcie x_0 odpowiadającym przyrostowi Δx , gdzie $0 < |\Delta x| < \varepsilon$, zmiennej niezależnej nazywamy liczbę [5], [8]-[10]:

$$\frac{\Delta f}{\Delta x} \equiv \frac{f(x_0 + \Delta x) - f(x_0)}{\Delta x}. \quad (2)$$

Definicja 4. (Pochodna obustronna właściwa funkcji w punkcie)

Niech $x_0 \in \mathbb{R}$ i niech funkcja $f=f(x)$ będzie określona przynajmniej na otoczeniu $O(x_0, \varepsilon)$. Pochodną właściwą funkcji $f(x)$ w punkcie x_0 nazywamy granicę właściwą [5], [8]-[10]:

$$f'(x_0) \equiv \lim_{\Delta x \rightarrow 0} \frac{f(x_0 + \Delta x) - f(x_0)}{\Delta x}. \quad (3)$$

Definicja 5. (Druga pochodna właściwa funkcji w punkcie)

Niech $x_0 \in \mathbb{R}$ i niech funkcja $f=f(x)$ będzie określona przynajmniej na otoczeniu $O(x_0, \varepsilon)$. Druga pochodna właściwa funkcji $f(x)$ w punkcie x_0 jest określona wzorem [8]-[10]:

$$f''(x_0) \equiv [f'(x_0)]'. \quad (4)$$

Twierdzenie 1. (Pochodna funkcji na przedziale otwartym) [6], [8]-[10]

Funkcja f ma pochodną w przedziale (a,b) , jeżeli ma pochodną w każdym punkcie tego przedziału.

Twierdzenia 2-6. (O arytmetyce pochodnych funkcji)

Jeżeli funkcje $f=f(x)$ i $g=g(x)$ mają pochodne właściwe w przedziale (a,b) , to [8]

$$[f(x) + g(x)]' = f'(x) + g'(x), \quad (5)$$

$$[f(x) - g(x)]' = f'(x) - g'(x), \quad (6)$$

$$[k \cdot f(x)]' = k \cdot f'(x), \quad (7)$$

$$[f(x) \cdot g(x)]' = f'(x)g(x) + g'(x)f(x), \quad (8)$$

$$\left[\frac{f(x)}{g(x)} \right]' = \frac{f'(x)g(x) - g'(x)f(x)}{g^2(x)}, \quad g(x) \neq 0. \quad (9)$$

Twierdzenie 7. (Warunki wystarczające monotoniczności funkcji)

Niech A oznacza dowolny przedział. Jeżeli dla każdego $x \in A$ funkcja f spełnia warunek [8]:

$$f'(x) = 0 \text{ to jest stała na } A, \quad (10)$$

$$f'(x) > 0 \text{ to jest rosnąca na } A, \quad (11)$$

$$f'(x) < 0 \text{ to jest malejąca na } A. \quad (12)$$

Definicja 6. (Minimum lokalne właściwe funkcji)

Funkcja f ma w punkcie $x_0 \in A$ minimum lokalne właściwe, jeżeli [8]-[10]

$$\bigvee_{\varepsilon > 0} \bigwedge_{x \in S(x_0, \varepsilon)} f(x) > f(x_0). \quad (13)$$

Definicja 7. (Maksimum lokalne właściwe funkcji)

Funkcja f ma w punkcie $x_0 \in A$ maksimum lokalne właściwe, jeżeli [8]-[10]

$$\bigvee_{\varepsilon > 0} \bigwedge_{x \in S(x_0, \varepsilon)} f(x) < f(x_0). \quad (14)$$

Twierdzenie 8. (Warunek konieczny istnienia ekstremum) (WKIE)

Jeżeli funkcja f ma [6], [8]-[10]:

$$\text{ekstremum lokalne w punkcie } x_0, \quad (15)$$

$$\text{pochodną } f'(x_0), \text{ to} \quad (16)$$

$$f'(x_0) = 0. \quad (17)$$

Twierdzenie 9. (*O lokalizacji ekstremów funkcji*)

Funkcja może mieć ekstrema lokalne tylko w punktach, w których jej pochodna równa się zero albo w punktach, w których jej pochodna nie istnieje [8].

Twierdzenie 10. (*Pierwszy warunek konieczny istnienia maksimum*) (1WDIE)

Jeżeli funkcja f spełnia warunki [6], [8]-[10]:

$$f'(x_0) = 0, \quad (18)$$

$$\bigvee_{\varepsilon > 0} \begin{cases} f'(x) > 0 & \text{dla } x \in O(x_0^-, \varepsilon) \\ f'(x) < 0 & \text{dla } x \in O(x_0^+, \varepsilon) \end{cases}, \quad (19)$$

to w punkcie x_0 istnieje maksimum lokalne właściwe. (20)

Twierdzenie 11. (*Pierwszy warunek konieczny istnienia minimum*) (1WDIE)

Jeżeli funkcja f spełnia warunki [6], [8]-[10]:

$$f'(x_0) = 0, \quad (21)$$

$$\bigvee_{\varepsilon > 0} \begin{cases} f'(x) < 0 & \text{dla } x \in O(x_0^-, \varepsilon) \\ f'(x) > 0 & \text{dla } x \in O(x_0^+, \varepsilon) \end{cases}, \quad (22)$$

to w punkcie x_0 istnieje minimum lokalne właściwe. (23)

Twierdzenie 12. (*Drugi warunek konieczny istnienia maksimum*) (2WDIE)

Jeżeli funkcja f spełnia warunki [6], [8]-[10]:

$$f'(x_0) = 0, \quad (24)$$

$$f''(x_0) < 0, \quad (25)$$

to w punkcie x_0 istnieje maksimum lokalne właściwe. (26)

Twierdzenie 13. (*Drugi warunek konieczny istnienia minimum*) (2WDIE)

Jeżeli funkcja f spełnia warunki [6], [8]-[10]:

$$f'(x_0) = 0, \quad (27)$$

$$f''(x_0) > 0, \quad (28)$$

to w punkcie x_0 istnieje minimum lokalne właściwe. (29)

Twierdzenie 14. (*O pochodnej funkcji złożonej*) Jeżeli [6], [8], [9]:

1. funkcja f ma pochodną właściwą w punkcie x_0
2. funkcja g ma pochodną właściwą w punkcie $f(x_0)$, to

$$(f \circ g)'(x_0) \equiv g'(f(x_0)) \cdot f'(x_0). \quad (30)$$

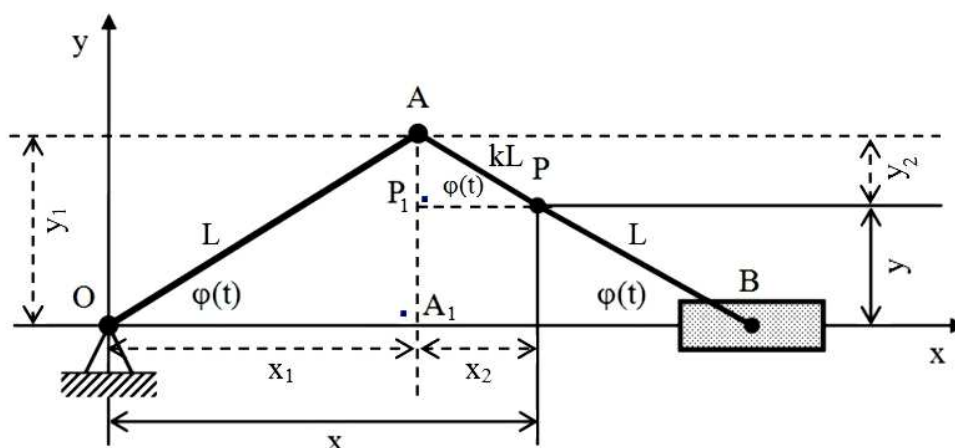
2. Analiza prędkości punktu korbowodu

2.1. Opis problemu

Układ mechaniczny składa się z dwóch prętów OA i AB o jednakowej długości L, połączonych przegubowo w punkcie A. Pręt OA może się obracać dookoła nieruchomego punktu O, natomiast punkt B porusza się po prostej poziomej (Rys. 1). Należy wyznaczyć równanie ruchu punktu P leżącego na pręcie AB odległego o kL od punktu A oraz jego prędkość jeśli pręt porusza się zgodnie z równaniem:

$$\varphi(t) = \omega t, \quad (31)$$

gdzie $\omega = \text{const.}$ oraz $k \in \langle 0,1 \rangle$ [11].



Rys. 1. Szkic układu mechanicznego przedstawiającego korbowód

Źródło: Opracowanie własne Autorów (MS-Word 2003)

Fig. 1. Sketch showing mechanical system of a connecting-rod

Source: Elaboration of the Authors (MS-Word 2003)

2.2. Model analityczny

- Wyznaczenie równania ruchu punktu korbowodu

Z trójkątów prostokątnych ΔOAA_1 i ΔPAP_1 mamy następujące zależności:

$$\frac{x_1}{L} = \cos[\varphi(t)], \quad (32)$$

$$\frac{x_2}{kL} = \cos[\varphi(t)], \quad (33)$$

$$\frac{y_1}{L} = \sin[\varphi(t)], \quad (34)$$

$$\frac{y_2}{kL} = \sin[\varphi(t)], \quad (35)$$

skąd

$$x_1 = L \cos[\varphi(t)], \quad (36)$$

$$x_2 = kL \cos[\varphi(t)], \quad (37)$$

$$y_1 = L \sin[\varphi(t)], \quad (38)$$

$$y_2 = kL \sin[\varphi(t)]. \quad (39)$$

Ponieważ

$$x = x_1 + x_2, \quad (40)$$

$$y = y_1 - y_2, \quad (41)$$

to stosując zależności (36)-(39) we wzorach (40) i (41) otrzymujemy:

$$x = L \cos[\varphi(t)] + kL \cos[\varphi(t)], \quad (42)$$

$$y = L \sin[\varphi(t)] - kL \sin[\varphi(t)], \quad (43)$$

a po przekształceniach mają one następującą postać:

$$x = L(1+k) \cos[\varphi(t)], \quad (44)$$

$$y = L(1-k) \sin[\varphi(t)]. \quad (45)$$

Ze związków (44) i (45) dalej otrzymujemy następujące zależności:

$$\cos[\varphi(t)] = \frac{x}{L(1+k)}, \quad (46)$$

$$\sin[\varphi(t)] = \frac{y}{L(1-k)}. \quad (47)$$

Ponieważ

$$\cos^2[\varphi(t)] + \sin^2[\varphi(t)] \equiv 1, \quad (48)$$

to

$$\frac{x^2}{L^2(1+k)^2} + \frac{y^2}{L^2(1-k)^2} = 1, \quad (49)$$

gdzie $a^2 = [L(1+k)]^2$, $b^2 = [L(1-k)]^2$.

◆ *Wniosek:* Punkt P porusza się po torze eliptycznym.

• *Wyznaczenie prędkości punktu korbowodu*

Pręt OA porusza się zgodnie z równaniem (31). Biorąc po uwagę związki (42) i (43) oraz (31) równania ruchu mają postać:

$$x = L(1+k) \cos(\omega t), \quad (50)$$

$$y = L(1-k) \sin(\omega t). \quad (51)$$

Prędkości punktu zależne od czasu t względem osi OX i OY zdefiniowane są wzorami:

$$v_x(t) \equiv \frac{dx}{dt}, \quad (52)$$

$$v_y(t) \equiv \frac{dy}{dt}. \quad (53)$$

Różniczkując funkcje opisane wzorami (50) i (51) otrzymujemy :

$$\frac{dx}{dt} = -L(1+k)\omega \sin(\omega t), \quad (54)$$

$$\frac{dy}{dt} = L(1-k)\omega \cos(\omega t) . \quad (55)$$

Stąd odpowiednio porównując związki (52)-(33) i (54)-(55) dostajemy, że:

$$v_x(t) = -L(1+k)\omega \sin(\omega t) , \quad (56)$$

$$v_y(t) = L(1-k)\omega \cos(\omega t) . \quad (57)$$

Prędkość wypadkowa v punktu P korbowa jest zdefiniowana wzorem:

$$v(t) \equiv \sqrt{v_x^2(t) + v_y^2(t)} . \quad (58)$$

Zatem uwzględniając otrzymane związki (56) i (57) we wzorze (58) mamy:

$$v(t) = \sqrt{L^2(1+k)^2 \omega^2 \sin^2(\omega t) + L^2(1-k)^2 \omega^2 \cos^2(\omega t)} , \quad (60)$$

$$v(t) = L\omega \sqrt{(1+2k+k^2) \sin^2(\omega t) + (1-2k+k^2) \cos^2(\omega t)} , \quad (61)$$

co po odpowiednich przekształceniach daje związek:

$$v(t) = L\omega \sqrt{1+k^2 - 2k[\cos^2(\omega t) - \sin^2(\omega t)]} . \quad (62)$$

Teraz po wykorzystaniu tożsamości na kosinus kąta podwojonego:

$$\cos^2(\omega t) - \sin^2(\omega t) \equiv \cos(2\omega t) , \quad (63)$$

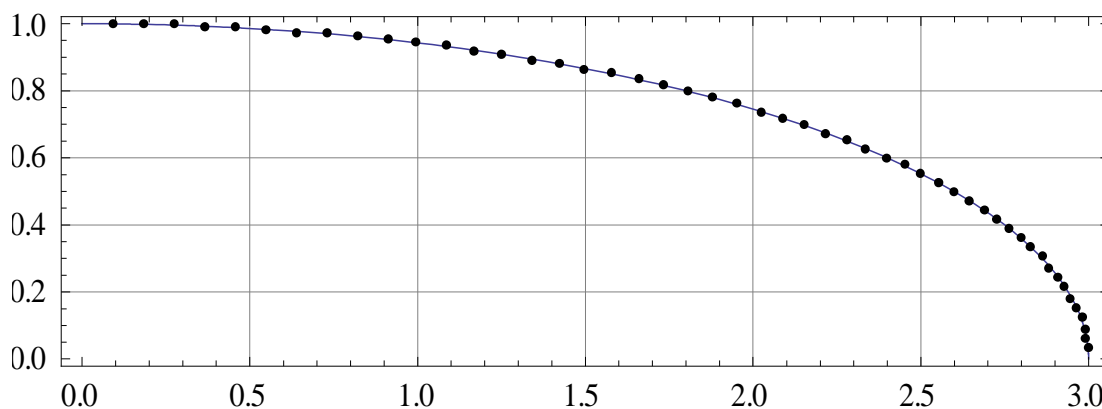
wzór na prędkość $v(t)$ [m/s] punktu P korbowa przyjmuje następującą ostateczną postać:

$$v(t) = L\omega \sqrt{1+k^2 - 2k \cos(2\omega t)} , \quad (64)$$

gdzie $t \in \langle 0, t_1 \rangle$, $t_1 \in \mathbb{R}$ oraz $\omega = \text{const}$.

2.3. Model numeryczny

Obliczenia numeryczne zostały wykonane dla bezwymiarowego parametru $k=0,5$; parametru $\omega=1$ [1/s] oraz dla długości pręta $L=2$ m w przedziale czasu $t \in \langle 0, \pi/2 \rangle$. Poniżej zamieszczony program numeryczny, który kreuje wykres toru punktu P w kształcie elipsy, wykresy składowych prędkości v_x i v_y punktu P i wykres wypadkowej prędkości v punktu P [1], [7].



Rys. 2. Wykres ruchu punktu P po torze eliptycznym dla $t \in \langle 0; \pi/2 \rangle$, $L=2$, $\omega=1$, $k=0,5$

Źródło: Opracowanie własne (Mathematica 7.0)

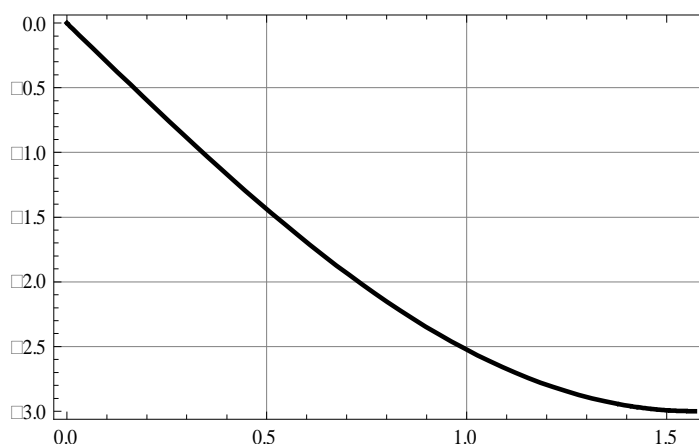
Fig. 2. Traffic chart of point P on elliptical path for $t \in \langle 0; \pi/2 \rangle$, $L=2$, $\omega=1$, $k=0,5$

Source: Elaboration of the Authors (Mathematica 7.0)

Program 1. Wykresy toru eliptycznego, po którym porusza się punkt
 Program 1. Graphs of the elliptical path at which point moves

<i>Program Mathematica 7.0</i>	<i>Komentarz</i>
<code>k:=0.5</code>	<i>Parametr $k \in (0,1)$</i>
<code>L:=2</code>	<i>Długość pręta L</i>
<code>w:=1</code>	<i>Parametr ω</i>
<code>ParametricPlot[{L*(1+k)*Cos[w*t],L*(1-k)*Sin[w*t]},{t,0,Pi/2}, Frame→True,GridLines→Automatic, Mesh→True,MeshStyle→{Black}]</code>	<i>Wykres toru eliptycznego po, którym porusza się punkt P (Rys. 2)</i>
<code>Plot[(-1)*L*(1+k)*w*Sin[w*t],{t,0,Pi/2}, Frame→True,GridLines→Automatic, PlotStyle→{Thickness[0.007],Black}]</code>	<i>Wykres składowej prędkości $v_x=v_x(t)$ punktu P, (Rys. 3)</i>
<code>Plot[L*(1-k)*w*Cos[w*t],{t,0,Pi/2}, Frame→True,GridLines→Automatic, PlotStyle→{Thickness[0.007],Black}]</code>	<i>Wykres składowej prędkości $v_y=v_y(t)$ punktu P, (Rys. 4)</i>
<code>Plot[L*w*Sqrt[1+k*k-2*k*Cos[2*w*t]},{t,0,Pi/2}, Frame→True,GridLines→Automatic, PlotStyle→{Thickness[0.007],Black}]</code>	<i>Wykres składowej prędkości $v=v(t)$ punktu P, (Rys. 5)</i>
<code>Plot3D[{L*(1+k)*Cos[w*t],L*(1-k)*Sin[w*t]},{t,0,Pi/2}, {k,0,0.4},Frame→True,GridLines→Automatic, MeshStyle→{Black},BoundaryStyle→{Black}] ParametricPlot[{L*(1+k)*Cos[w*t],L*(1-k)*Sin[w*t]},{t,0,Pi/2}, {k,0,0.6},Frame→True,GridLines→Automatic, MeshStyle→{Black},BoundaryStyle→{Black}]</code>	<i>Wykresy funkcji składowej prędkości punktu P w zależności od czasu t oraz parametru k $v=v(t,k)$, (Rys. 6-7)</i>

Źródło: Opracowanie własne Autorów na podstawie [1], [12], [13]
 Source: Elaboration of the Authors based on [1], [12], [13]

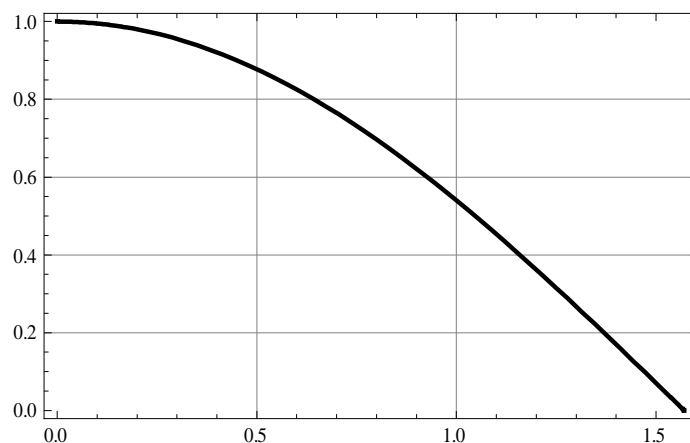


Rys. 3. Wykres składowej prędkości $v_x=v_x(t)$ punktu P dla parametrów $t \in (0; \pi/2)$, $L=2$, $\omega=1$, $k=0,5$

Źródło: Opracowanie własne (Mathematica 7.0)

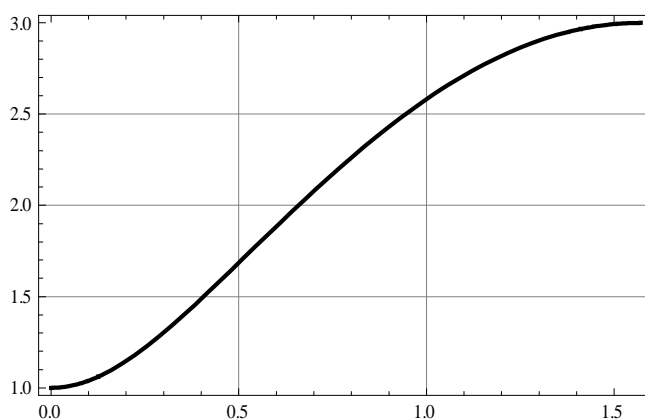
Fig. 3. Graph velocity component $v_x=v_x(t)$ of point P for parameters $t \in (0; \pi/2)$, $L=2$, $\omega=1$, $k=0,5$

Source: Elaboration of the Authors (Mathematica 7.0)



Rys. 4. Wykres składowej prędkości $v_y = v_y(t)$ punktu P dla parametrów $t \in \langle 0; \pi/2 \rangle$, $L=2$, $\omega=1$, $k=0,5$
 Źródło: Opracowanie własne (Mathematica 7.0)

Fig. 4. Graph velocity component $v_y = v_y(t)$ of point P for parameters $t \in \langle 0; \pi/2 \rangle$, $L=2$, $\omega=1$, $k=0,5$
 Source: Elaboration of the Authors (Mathematica 7.0)



Rys. 5. Wykres prędkości $v = v(t)$ punktu P dla parametrów $t \in \langle 0; \pi/2 \rangle$, $L=2$, $\omega=1$, $k=0,5$
 Źródło: Opracowanie własne (Mathematica 7.0)

Fig. 5. Graph of a velocity $v = v(t)$ of the point P for parameters $t \in \langle 0; \pi/2 \rangle$, $L=2$, $\omega=1$, $k=0,5$
 Source: Elaboration of the Authors (Mathematica 7.0)

Kształt wykresu prędkości punktu P korbowodu zależy od czasu t i od zmian parametru k , wpływającego na położenie punktu P na ramieniu AB korbowodu (Rys. 6 i Rys. 7).

Symulację przestrzenną i warstwicową ruchu punktu P realizuje program 2.

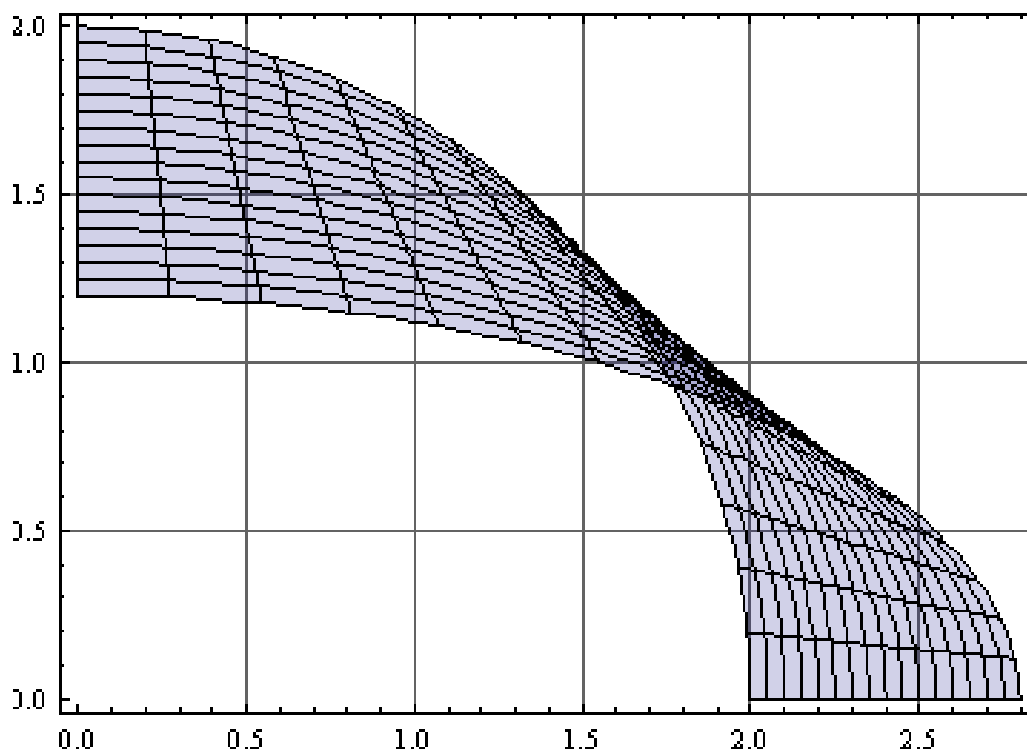
Program 2. Symulacja przestrzenna i warstwicowa ruchu punktu P [1], [12], [13]

Program 2. Simulation of the space and contour plots of point P motion [1], [12], [13]

Program Mathematica 4.1	Komentarz:
<pre>L:=2 w:=1 Plot3D[L*w*Sqrt[1+k*k-2*k*Cos[2*w*t]], {t,0,Pi/2},{k,0,1},ColorFunction->Hue]</pre>	Wykres przestrzenny prędkości $v=v(t,k)$ punktu P dla $k \in \langle 0,1 \rangle$, $t \in \langle 0, \pi/2 \rangle$, $L=2$, $\omega=1$ (Rys. 8)
<pre>L:=2 w:=1 ContourPlot[L*w*Sqrt[1+k*k-2*k*Cos[2*w*t]], {t,0,Pi/2},{k,0,1},ColorFunction->Hue]</pre>	Wykres warstwicowy prędkości $v=v(t,k)$ punktu P $k \in \langle 0,1 \rangle$, $t \in \langle 0, \pi/2 \rangle$, $L=2$, $\omega=1$ (Rys. 9)

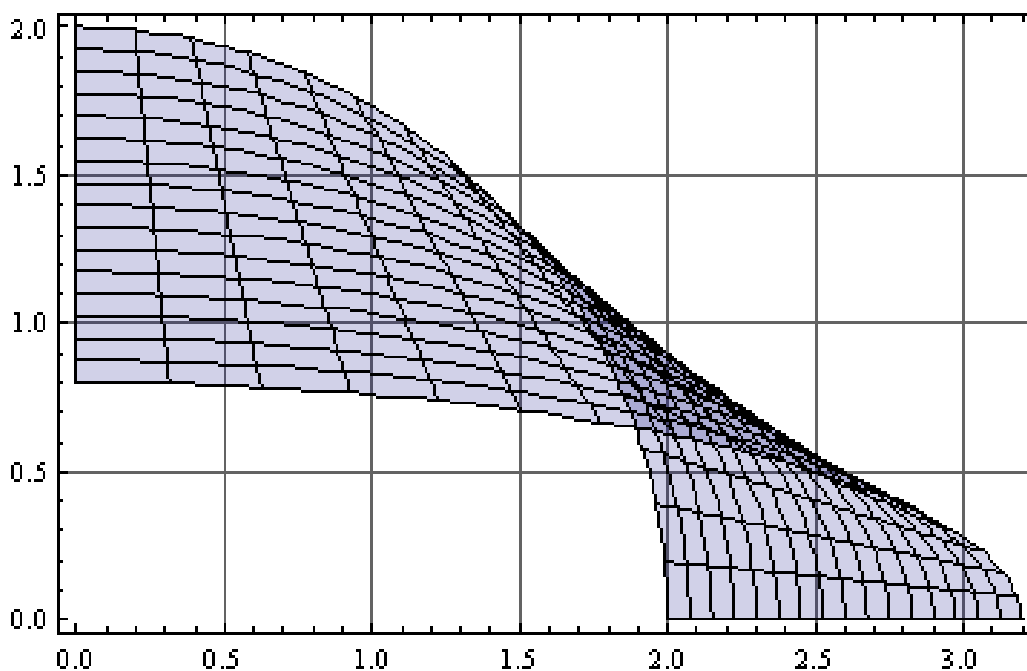
Źródło: Opracowanie własne Autorów na podstawie [1], [12], [13]

Source: Elaboration of the Authors based on [1], [12], [13]



Rys. 6. Wykres prędkości $v(t,k)$ punktu P dla $t \in \langle 0; \pi/2 \rangle$, $L=2$, $\omega=1$, $k \in \langle 0; 1 \rangle$
 Źródło: Opracowanie własne (Mathematica 7.0)

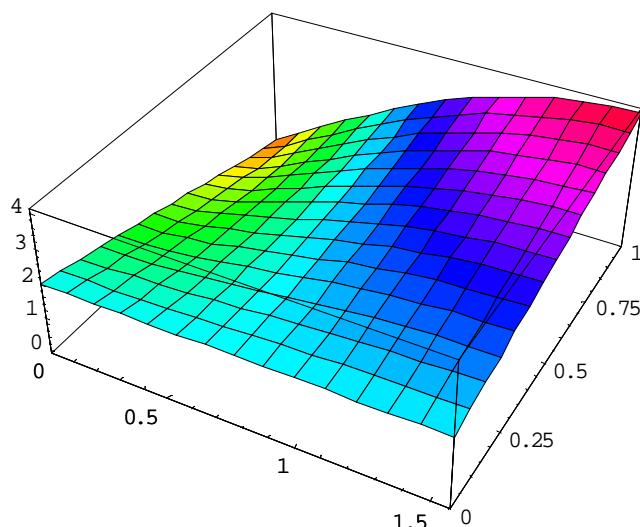
Fig. 6. Graph of a velocity $v(t,k)$ of the point P for $t \in \langle 0; \pi/2 \rangle$, $L=2$, $\omega=1$, $k \in \langle 0; 1 \rangle$
 Source: Elaboration of the Authors (Mathematica 7.0)



Rys. 7. Wykres prędkości $v(t,k)$ punktu P dla $t \in \langle 0; \pi/2 \rangle$, $L=2$, $\omega=1$, $k=0,5$
 Źródło: Opracowanie własne (Mathematica 7.0)

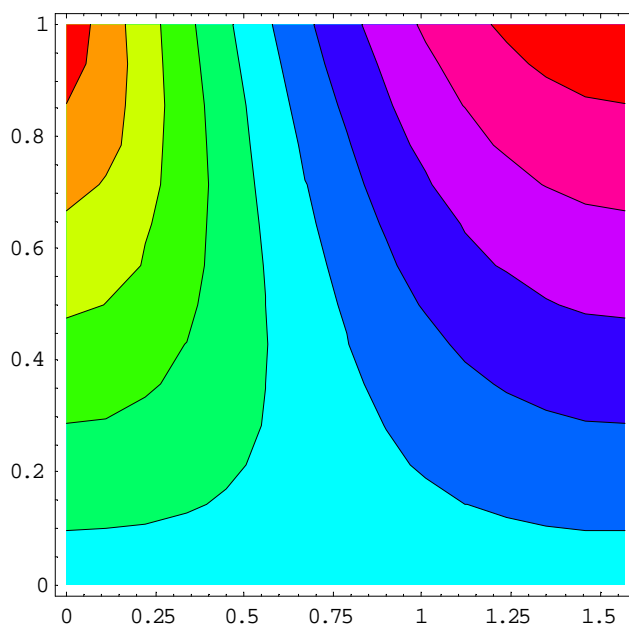
Fig. 7. Graph of a velocity $v(t,k)$ of the point P for $t \in \langle 0; \pi/2 \rangle$, $L=2$, $\omega=1$, $k=0,5$
 Source: Elaboration of the Authors (Mathematica 7.0)

◆ *Wniosek:* Wzrost parametru $k \in \langle 0,1 \rangle$ związany jest ze spłaszczeniem trajektorii punktu P.



Rys. 8. Wykres Plot3D prędkości $v=v(t,k)$ punktu P dla $t \in \langle 0; \pi/2 \rangle = \langle 0; 1,57 \rangle$ i $k \in \langle 0,1 \rangle$, $L=2$, $\omega=1$
 Źródło: Opracowanie własne (Mathematica 4.1)

Fig. 8. Plot3D graph of velocity $v=v(t,k)$ of point P for $t \in \langle 0; \pi/2 \rangle = \langle 0; 1,57 \rangle$ and $k \in \langle 0,1 \rangle$, $L=2$, $\omega=1$
 Source: Elaboration of the Authors (Mathematica 4.1)



Rys. 9. Wykres ContourPlot prędkości $v=v(t,k)$ punktu P dla $t \in \langle 0; \pi/2 \rangle = \langle 0; 1,57 \rangle$ i $k \in \langle 0,1 \rangle$, $L=2$, $\omega=1$
 Źródło: Opracowanie własne (Mathematica 4.1)

Fig. 9. ContourPlot graph of velocity $v=v(t,k)$ of point P for $t \in \langle 0; \pi/2 \rangle = \langle 0; 1,57 \rangle$ and $k \in \langle 0,1 \rangle$, $L=2$, $\omega=1$
 Source: Elaboration of the Authors (Mathematica 4.1)

◆ *Wnioski:*

Z wykresu przestrzennego typu Plot3D można wnioskować, iż wraz ze wzrostem parametru bezwymiarowego parametru k od 0 do 1 i wzrostem czasu od 0 do 1,57 obserwuje się wzrost wartości prędkości punktu P, przy czym istotny wpływ na charakter wzrostu wartości prędkości mają tu zmiany parametru k .

Z wykresu warstwiczowego typu ContourPlot można wnioskować, iż wraz ze wzrostem parametru bezwymiarowego parametru k od 0 do 1 i wzrostem czasu od 0 do 1,57 obserwuje się wzrost wartości prędkości punktu P, po trajektorii o kształcie elipsy.

3. Badanie prędkości wznoszenia się mechanizmu przegubowego

3.1. Opis problemu

Mechanizm przegubowy ABCDE, gdzie $BC = CD = a$ [m], ustawiony w płaszczyźnie pionowej, porusza się w taki sposób, że przeguby B i D poruszają się w linii poziomej w kierunku środka O, na którym wznosi się przegub C (Rys. 10). Kąt nachylenia

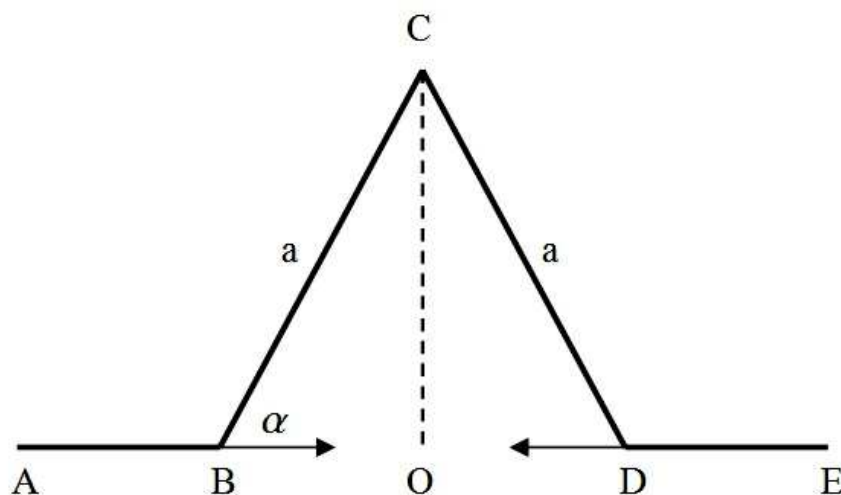
$$\alpha = \alpha(t). \quad (65)$$

pręta BC do linii poziomej DB rośnie ze stałą prędkością

$$\frac{d\alpha}{dt} = k \text{ [rad]}. \quad (66)$$

W przegubie C zawieszony jest pewien ciężar [7], [11]. Znaleźć prędkość $v(\alpha_0)$ wznoszenia się przegubu C i obliczyć ją dla chwili t_0 , gdy

$$\alpha(t = t_0) = \alpha_0. \quad (67)$$



Rys. 10. Szkic układu mechanicznego typu mechanizm przegubowy
Źródło: Opracowanie własne (MS-Word 2003)

Fig. 10. Sketch of the mechanical system type bar link-age
Source: Elaboration of the Authors (MS-Word 2003)

3.2. Model analityczny

- Wyznaczenie prędkości wznoszenia się przegubu

Niech w danym momencie t wysokość punktu C wynosi y . Wtedy otrzymujemy zależność:

$$\frac{y}{a} = \sin(\alpha), \quad (68)$$

a stąd

$$y = a \sin(\alpha). \quad (69)$$

Zatem biorąc pod uwagę zależności (65) i (69) otrzymujemy funkcję złożoną postaci:

$$y(t) = a \sin[\alpha(t)]. \quad (70)$$

Prędkość $v(t)$ wznoszenia się punktu C obliczymy ze wzoru:

$$v(t) \equiv \frac{dy}{dt} = \frac{dy}{d\alpha} \cdot \frac{d\alpha}{dt}. \quad (71)$$

Jeśli we wzorze (71) uwzględnimy pochodną

$$\frac{dy}{d\alpha} = a \cos[\alpha(t)] \quad (72)$$

i założenie (66) to szukaną prędkość $v(t)$ wyrazimy wzorem:

$$v(t) \equiv \frac{dy}{dt} = a \cdot k \cdot \cos[\alpha(t)]. \quad (73)$$

W szczególności uwzględniając założenie (67) we funkcji (73), to wzór określający prędkość $v(t_0)$ punktu C w chwili t_0 będzie miał ostateczną następującą postać:

$$v(\alpha_0) = a \cdot k \cdot \cos(\alpha_0). \quad (74)$$

♦ *Uwaga:* Prędkość wznoszenia się przegubu C maleje do zera przy α rośnie $\frac{\pi}{2}$, co zapisujemy następująco:

$$a \cdot k \cdot \cos[\alpha(t)] \rightarrow 0, \quad \text{gdy} \quad \alpha \rightarrow \frac{\pi}{2}. \quad (75)$$

3.3. Obliczenia numeryczne

W modelu numerycznym przyjmujemy następujące wielkości:

- przegub BC \equiv CD ma długość $a = 3$ [m],
- stała prędkość zmian kąta wynosi $k \equiv \frac{d\alpha}{dt} = 4,5$ [rad],
- wartość kąta α w chwili t_0 wynosi $\alpha(t = t_0) \equiv \alpha_0 = \frac{1}{3}\pi$.

W rezultacie obliczeń numerycznych mamy:

$$v\left(\frac{\pi}{3}\right) = 3 \cdot 4,5 \cdot \cos\left(\frac{\pi}{3}\right) = 13,5 \cdot \frac{1}{2} = 6,75 \left[\frac{\text{m}}{\text{s}}\right]. \quad (76)$$

♦ *Uwaga:*

Prędkość wznoszenia się przegubu C w pewnej chwili dla kąta $\frac{1}{3}\pi$ wynosi $6,75 \left[\frac{\text{m}}{\text{s}}\right]$.

3. Wniosek

Pokazanie technicznego zastosowania pochodnej funkcji jednej zmiennej, a w szczególności wyznaczania ekstremum funkcji, w wybranych zagadnieniach mechaniki technicznej, sprzyja lepszemu zrozumieniu i stosowaniu podstawowych pojęć rachunku różniczkowego.

Literatura

- [1] Abel M.L., Braselton J.P.: *Mathematica by example, Revised edition*. Georgia Southern University, Department of Mathematics and Computer Science, Statesboro, Georgia, AP Professional A Division of Harcourt Brace & Company, Boston San Diego New York London Sydney Tokyo Toronto 1993.
- [2] Bronsztejn I.N., Siemiendiajew K.A., Musiol G., Mühlrig H.: *Nowoczesne kompendium matematyki*. Wyd. Naukowe PWN, Warszawa 2004.
- [3] Drwal G., Grzymkowski R., Kapusta A., Słota D.: *Mathematica 4*. Wyd. Pracowni Komputerowej Jacka Skalmierskiego, Gliwice 2000.
- [4] Dziubiński I., Siewierski L.: *Matematyka dla wyższych szkół technicznych, Tom 1*. PWN, Warszawa 1984, s. 60-204, w. II pop.
- [5] Ginter N.M., Kuźmin R.O.: *Zbiór zadań z matematyki wyższej. Tom 1*. PNW, Warszawa 1957.
- [6] Гусак А.А.: *Задачи и упражнения по высшей математике, Часть 1*. Издательство «Высшая Школа», Минск 1988, изд. второе, переработанное.
- [7] Kryszwicki W., Włodarski L.: *Analiza matematyczna w zadaniach, Część I*. PWN, Warszawa 1994, s. 42.
- [8] Leksiński W., Nabiałek I., Żakowski W.: *Matematyka. Definicje, twierdzenia, przykłady, zadania*. Podręczniki Akademickie Elektronika Informatyka telekomunikacja (EIT) WNT, Warszawa 1992, wyd. XIII pop, s. 83.
- [9] Nikolsky S.M.: *A course of mathematical analysis, Vol. 1*, Mir Publishers, Moscow 1977.
- [10] Pogorzelski W.: *Analiza matematyczna. Tom 1: Rachunek różniczkowy, ciągi i szeregi*. Spółdzielnia Wydawniczo-Oświatowa „Czytelnik”, Warszawa 1951, s. 135-138.
- [11] Skalmierski B.: *Mechanika*. Biblioteka Naukowa Inżyniera. Wyd. Naukowe PWN, Warszawa 1994, wyd. III poprawione i uzupełnione, s. 44.
- [12] Trott M.: *The Mathematica for Graphics. Guide Book*. Springer Science + Business, Inc., 2004, USA.
- [13] Wolfram S.: *The Mathematica Book, 4th edition*, Wolfram Media and Cambridge University Press, Champaign and Cambridge 1999.
- [14] Зайцев И.Л.: *Элементы высшей математики для техникумов*. Издательство «Наука», Москва 1965, изд. восьмое, стереотипное.